

UNIVERSIDAD NACIONAL AUTÓNOMA  
DE MÉXICO

---

---

FACULTAD DE CIENCIAS

“Variabilidad genética de algunas poblaciones de  
*Pseudocorynosoma constrictum* Van Cleave, 1918  
(ACANTHOCEPHALA) usando secuencias de  
genes mitocondriales (Citocromo Oxidasa Subunidad I)”

T E S I S

QUE PARA OBTENER EL TÍTULO DE:

BIÓLOGO

P R E S E N T A

FRANCISCO JAVIER ALCÁNTAR ESCALERA



DIRECTOR DE TESIS: DR. JOSÉ MARTÍN GARCÍA VARELA

México, D.F., 2008



**UNAM – Dirección General de Bibliotecas**

**Tesis Digitales**  
**Restricciones de uso**

**DERECHOS RESERVADOS ©**  
**PROHIBIDA SU REPRODUCCIÓN TOTAL O PARCIAL**

Todo el material contenido en esta tesis está protegido por la Ley Federal del Derecho de Autor (LFDA) de los Estados Unidos Mexicanos (México).

El uso de imágenes, fragmentos de videos, y demás material que sea objeto de protección de los derechos de autor, será exclusivamente para fines educativos e informativos y deberá citar la fuente donde la obtuvo mencionando el autor o autores. Cualquier uso distinto como el lucro, reproducción, edición o modificación, será perseguido y sancionado por el respectivo titular de los Derechos de Autor.

## Dedicatorias

Sin lugar a dudas dedico este esfuerzo a mis padres por haber forjado lo que soy ahora. Gracias papá por haberme inculcado el trabajo, honestidad y sencillez para realizarme. Gracias por tu apoyo, sobre todo moral, que es aún el más importante, gracias por ser mi ejemplo de superación.

Por supuesto al ser humano, que aparentemente es el más débil y frágil, pero que esconde en su naturaleza de madre una fortaleza que me ha cobijado. Su calidez ha sido determinante para que me haya conducido con seguridad y rectitud. Sin duda sin su sola presencia no hubiera sido posible la culminación de este esfuerzo. Gracias mami.

A esas tres mujeres que también pusieron su grano de arena para que pudiera llegar a la meta. Gracias por esa unión fraternal que me han brindado y que también es otro elemento fundamental que me impulso para cumplir mi objetivo.

Gracias Isabela, Berende y a la tucita Maricruz.

No puede faltar el otro cimiento importante en la vida de una persona para sentirse plena. Esta tesis también esta dedicada a mi persona especial, esa que ha sido mi escucha, mi respaldo y que me reconforta en mis tropiezos. A mi niña, que cuando volteo, esta ahí acompañándome, y que con ella, comparto momentos buenos y malos. Gracias corazón por corresponderme, por tu motivación y consejos: para ti es este trabajo.

## Agradecimientos

Por su tiempo y confianza agradezco al Dr. Martín García Varela por facilitarme las condiciones para que pudiera realizar este trabajo así como por permitirme ser participe de su equipo de investigación. Agradezco al Dr. Gerardo Pérez-Ponce de León, al M. en C. Luis García Prieto, al

M. en C. Andrés Martínez Aquino y a la M. en C. Mirza Patricia Ortega Olivares por sus sugerencias y correcciones además por ser parte de mi jurado.

A la M. en C. Berenit Mendoza por las imágenes de microscopía electrónica, a la M. en C. Laura Marquéz por la secuenciación de fragmentos de ácidos nucleicos.

A mis amigos: Ross, Betty, Polo “Simón” Alejandro, Daniel el “salcitas”, Roberto “tripas” Salazar, al “Jar”, Mirza y Ana Lucía por su sincero consejo, a las “poks” Monica y Diana, Andrés, Miriam, Ariel el “Hoover”, Arturo Wilkins, a mi compa Luis Alberto, a Guillermo el “coreano” y Sandrilú.

## **Índice**

### **I. INTRODUCCIÓN**

I.I. Características generales del phylum Acanthocephala .....	3
I.II. Características generales de la familia Polymorphidae Meyer, 1931.....	3
I.III. Historia del género <i>Pseudocorynosoma</i> Aznar F. J., Pérez-Ponce de León G., y Raga J.A.,.....	4
I.IV. Ciclo de vida de <i>Pseudocorynosoma constrictum</i> . ....	5
I.V. Generalidades de la familia Anatidae Vigors, 1825 .....	7
I.VI. Marcadores moleculares .....	8

### **II. JUSTIFICACIÓN .....** 9

### **III. OBJETIVOS**

III.I. Generales .....	9
III.II. Particulares .....	9

### **IV. MATERIAL Y MÉTODO**

IV.I. Recolecta del material biológico .....	10
IV.II. Aislamiento del DNA genómico .....	10
IV.III. Amplificación y secuenciación del gen Citocromo Oxidasa Subunidad I (cox I) .....	11
IV.IV. Purificación de los productos de PCR, clonación y secuenciación .....	12
IV.V. Alineación múltiple y análisis filogenéticos .....	13

### **V. RESULTADOS**

V.I. Morfología .....	13
V.II. Datos moleculares .....	16

### **VI. DISCUSIÓN .....** 20

### **VII. CONCLUSIONES .....** 23

### **VIII. Literatura citada .....** 24

### **IX. Apéndice**

IX.I. Alineamiento .....	28
--------------------------	----

## I. INTRODUCCIÓN

### I.I. Características generales del phylum Acanthocephala

El phylum Acanthocephala está constituido por más de 1, 100 especies de endoparásitos, que alternativamente usan vertebrados e invertebrados para completar su ciclo de vida. Estos helmintos parásitos son organismos pseudocelomados, de cuerpo blando, cilíndricos, de simetría bilateral y se caracterizan por tener una estructura retráctil cubierta de ganchos llamada proboscis, carecen de sistema respiratorio, circulatorio y aparato digestivo, por lo que absorben los nutrientes a través del tegumento del cuerpo y son depositados en el sistema lacunar que funciona como un aparato circulatorio (Nickol, 1985; Kennedy, 2006).

El phylum Acanthocephala está dividido en cuatro clases: Archiacanthocephala Meyer, 1931; Eoacanthocephala Van Cleave, 1936; Polyacanthocephala Amin, 1987 y Palaeacanthocephala Meyer, 1931; considerando caracteres morfológicos, ecológicos y moleculares (Amin, 1985; Brusca y Brusca 2002; Near, et al., 1998; García-Varela et al., 2002). Las clases se diferencian con base en caracteres morfológicos como la localización del sistema lacunar, la persistencia del saco de ligamento en hembras, el número y forma de las glándulas de cemento presentes en machos, el número y tamaño de ganchos en la proboscis, el tipo de hospedero definitivo e intermediario (Amin, 1985).

### I.II. Características generales de la familia Polymorphidae Meyer, 1931

La familia Polymorphidae (Palaeacanthocephala) es un grupo de endoparásitos que en estadio adulto se asocian con aves marinas ictiófagas, anátidos y mamíferos marinos. La familia está constituida por 127 especies clasificadas en 10 géneros (Schmidt, 1973; Nickol, 1985; Aznar et al., 2006). Los géneros se distinguen morfológicamente por la forma de la proboscis, el patrón de espinas en el tronco, el número de glándulas de cemento (4 a 8) y por el tipo de hospedero intermedio y definitivo (Tabla 1).

**Tabla 1. Géneros de la familia Polymorphidae**

Género	Hospedero intermediario	Hospedero definitivo
<i>Andracantha</i> Schmidt, 1975	Crustáceos	Aves ictiófagas
<i>Arhythmorhynchus</i> Luhe, 1911	Crustáceos	Aves ictiófagas
<i>Bolbosoma</i> Porta, 1908.	Crustáceos	Cetáceos
<i>Pseudocorynosoma</i> Aznar, et al., 2006	Anfípodos	Anátidos
<i>Diplospinifer</i> Fukui, 1929	Crustáceos	Cetáceos
<i>Profilicollis</i> Luhe, 1911	Decápodos	Aves ictiófagas
<i>Hexaglandula</i> Petrochenko 1950	Decápodos	Aves ictiófagas
<i>Polymorphus</i> Luhe, 1911	Anfípodos	Aves ictiófagas y Anátidos
<i>Southwellina</i> Witenberg 1932	Decápodos	Aves ictiófagas, Aves filtradoras
<i>Corynosoma</i> Luhe, 1904	Anfípodos e Isópodos	Pinípedos

I.III. Historia del género *Pseudocorynosoma* Aznar F. J., Pérez-Ponce de León G. y Raga J.A., 2006.

Las especies del género *Pseudocorynosoma* se distribuyen en Norte y Sudamérica como endoparásitos de anátidos dulceacuícolas. Con base en caracteres morfológicos, el género contiene 5 especies: *P. constrictum* Van Cleave, 1918 (especie tipo); *P. anatarium* Van Cleave, 1945; *P. enrietti* Molfie y Freitas, 1953; *P. iheringi* Machado Filho, 1961 y *P. peposacea* Porta, 1914 (Aznar et al., 2006).

Van Cleave (1918) describió a *Pseudocorynosoma constrictum* (antes clasificado en el género *Corynosoma* Luhe, 1904) del intestino de *Anas americana* Gmelin, 1789, en el lago de Yellowstone, Wyoming, E.U. *Pseudocorynosoma constrictum* se caracteriza por presentar una proboscis ovoide armada con 16 hileras de ganchos, en donde cada hilera contiene de 10 a 12 ganchos. Los ganchos báseales y apicales de la proboscis son los más pequeños, midiendo de 0.035 mm a 0.041 mm y 0.030 a 0.041 mm, respectivamente, mientras que los ganchos de la parte media de la proboscis son más grandes midiendo de 0.041 mm a 0.047 mm de longitud. *Pseudocorynosoma constrictum* presenta una constricción en la región anterior del tronco cubierta de espinas de forma triangular que se extiende hasta la tercera parte del tronco. Los machos y las hembras presentan espinas cuticulares en la región genital, de forma curveada y son de diferentes tamaños; poseen lemniscos tubulares más largos que el receptáculo de la proboscis, el aparato reproductor masculino está conformado por 2 testículos arreglados en tandem y 4

glándulas de cemento tubulares (Aznar et al., 2006). Los huevos embrionados tienen una longitud de 0.0799 a 0.108 mm y un diámetro de 0.12 a 0.16 mm. El cuerpo es fusiforme y en los machos mide de 2.28 mm a 4.3 mm de longitud con un diámetro máximo de 0.5 mm a 0.6 mm. Las hembras miden aproximadamente 3.3 mm con un diámetro de 0.8 mm.

#### I.IV. Ciclo de vida de *Pseudocorynosoma constrictum*

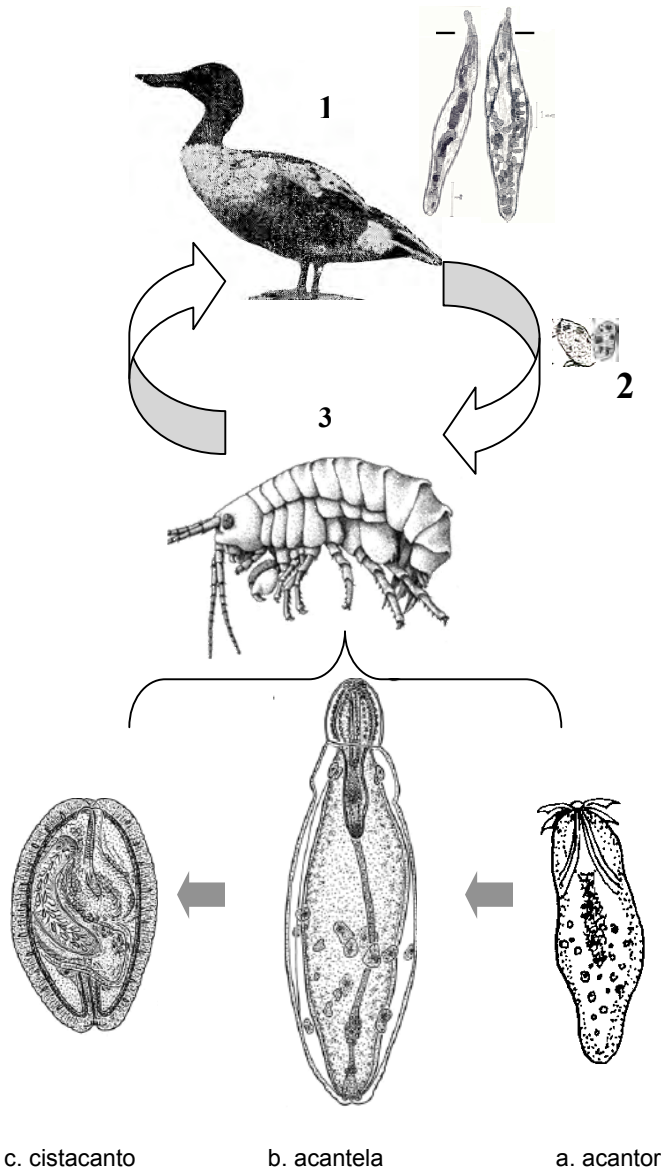
*Pseudocorynosoma constrictum* es un parásito generalista que se ha registrado en el intestino de más de 13 especies de anátidos (Keithly, 1968) y es considerado como el acantocéfalo más abundante en Norteamérica (Tabla 2). Las hembras sexualmente maduras, liberan huevos a través de las heces de su hospedero definitivo (patos), los cuales son ingeridos por un anfípodo, *Hyalella azteca* Saussure, 1858, que funciona como hospedero intermediario (Keithly, 1968). En *H. azteca* se desarrollan tres estadios larvales: acantor, acantela y cistacanto, este último es la fase infectiva (Fig. 1). La transmisión ocurre cuando el hospedero definitivo ingiere al cistacanto completamente formado que se encuentra en el hemocele de *H. azteca* (Keithly, 1968; Podesta y Holmes, 1970). En *H. azteca* se presentan cambios en su comportamiento, coloración y algunas veces su castración o muerte, debido a la presencia de las larvas de *P. constrictum* en su cuerpo; estas son estrategias del parásito para completar su ciclo de vida. (Podesta y Holmes, 1970; Benesh et al., 2005; Duclos et al., 2006).

**Tabla 2. Registros de *P. constrictum* en Norteamérica.**

Hospederos	Distribución	Referencias
<i>Anas acuta</i> Linnaeus, 1758	Illinois, USA. Illinois, USA. British Columbia, USA. Michigan, USA. Wisconsin, USA. Alaska, USA. Alaska, USA. Washington, USA. Kansas, USA. Manitoba, Canada. Texas, USA. New Mexico, USA. Texas, USA. Arizona, USA. Alberta, Canada. Canada.	Van Cleave and Starret, 1940 Van Cleave, 1945 Van Cleave, 1945 Van Cleave, 1945 Van Cleave, 1945 Schmidt, 1965 Petrochenko, 1958 Priebe, 1952 Buscher, 1965 Buscher, 1965 Buscher, 1965 Mayberry et al., 2000 Mayberry et al., 2000 Mayberry et al., 2000 Crichton and Welch, 1972 Turner and Threlfall, 1975
<i>Anas americana</i> Gmelin, 1789		
<i>Anas clypeata</i> Linnaeus, 1758	Iowa, USA. Alaska, USA. Kansas, USA. Manitoba, Canada.	Van Cleave, 1945 Petrochenko, 1958 Buscher, 1965 Buscher, 1965

<i>Anas cyanoptera</i> Vieillot, 1816	Texas, USA. Texas, USA. New México, USA. Texas, USA. New México, USA. Texas, USA. Texas, USA. Texas, USA.	Buscher, 1965 Broderson et al., 1977 Mayberry et al., 2000 Mayberry et al., 2000 Mayberry et al., 2000 Mayberry et al., 2000 Wilkinson et al., 1977 Canaris et al., 1981
<i>Anas discors</i> Linnaeus, 1766	British Columbia, USA. North Dakota, USA. Oklahoma, USA. Alaska, USA. Nebraska, USA. Nebraska, USA. Washington, USA. Kansas, USA. Manitoba, Canada. Texas, USA. North Dakota, USA. New Jersey, USA. Illinois, USA. Iowa, USA. British Columbia, USA. Alaska, USA. Alberta, Canada. Aguascalientes, Mexico.	Van Cleave, 1945 Van Cleave, 1945 Van Cleave, 1945 Petrochenko, 1958 Benesh et al., 2005 Duclos et al., 2006 Priebe, 1952 Buscher, 1965 Buscher, 1965 Buscher, 1965 Van Cleave, 1945 Van Cleave, 1945 Van Cleave and Starret, 1940 Van Cleave, 1945 Van Cleave, 1945 Petrochenko, 1958 Crichton and Welch, 1972 Farias and Canaris, 1986
<i>Anas formosa</i> Georgi, 1775		
<i>Anas platyrhynchos</i> Linnaeus, 1758		
<i>Anas platyrhynchos diazi</i> Linnaeus, 1758	Durango, México. Jalisco, Mexico. Chihuahua, México. Texas, USA. New México, USA. New México, USA. Texas, USA. Alaska, USA. Kansas, USA. Manitoba, Canada. Texas, USA. Alaska, USA. British Columbia, USA. Washington D.C, USA. Manitoba, Canada. Ohio, USA. Alaska, USA. Alaska, USA. Illinois, USA. Iowa, USA. Ohio, USA. Oklahoma, USA. Illinois, USA.	Farias and Canaris, 1986 Farias and Canaris, 1986 Farias and Canaris, 1986 Farias and Canaris, 1986 Farias and Canaris, 1986 Mayberry et al., 2000 Mayberry et al., 2000 Petrochenko, 1958 Buscher, 1965 Buscher, 1965 Buscher, 1965 Schmidt, 1965 Van Cleave, 1945 Priebe, 1952 Ewart and McLaughlin, 1990 Van Cleave, 1945 Schmidt, 1965 Schmidt, 1965 Van Cleave, 1945 Van Cleave, 1945 Van Cleave, 1945 Van Cleave, 1945 Van Cleave and and Starret, 1940
<i>Anas strepera</i> Linnaeus, 1758		
<i>Aythya affinis</i> Eyton, 1838		
<i>Bucephala albeola</i> Linnaeus, 1758		
<i>Fulica americana</i> Gmelin, 1789		
<i>Larus philadelphia</i> Ord, 1815		
<i>Melanitta perspicillata</i> Linnaeus, 1758		
<i>Oxyura jamaicensis</i> Gmelin, 1789		

## Continuación de la Tabla 2



**Fig. 1.** Ciclo de vida de *Pseudocorynosoma constrictum*. 1) adultos en el intestino del hospedero definitivo; 2) huevos; 3) anfípodo, hospedero intermedio (*Hyalella azteca*); a) Acantor; b) Acantela; c) Cistacanto. Tomado y modificado de Duclos et al., 2006.

#### I.V. Generalidades de la familia Anatidae Vigors, 1825

La familia Anatidae está representada por patos, cisnes y gansos; presenta una distribución cosmopolita excepto en la Antártida. *Anatidae* cuenta con 5 subfamilias: Dendrocygninae, Anserinae, Stictonettinae, Tadorninae y Anatinae. *Anatidae* cuenta con 145 especies, de las cuales 43 anidan en Norteamérica y 5 que anidan en Eurasia visitan regularmente el Continente Americano (Ankney y Afton, 1988).

Los anátidos poseen una membrana interdigital. Esta membrana une los dedos desde la base a la punta, les permite nadar y bucear con gran velocidad. Poseen picos anchos y aplanados con pequeñas láminas filtrantes a lo largo de los bordes laterales que,

a simple vista, semeja una dentadura. Esta es una adaptación al tipo de hábitos alimenticios filtradores. Su dieta esta formada de granos, plantas acuáticas, invertebrados y peces. En los patos existen algunas variaciones en la forma de los dedos posteriores dependiendo de sus hábitos. Los patos que se alimentan en aguas someras (llamados patos de superficie), tienen el dedo posterior no lobulado, en cambio los que se alimentan en aguas profundas (patos buceadores), tienen el dedo libre lobulado; los patos arbóreos, tienen uñas más largas para posarse en las ramas. Los patos se distinguen de los cisnes y los gansos por poseer las patas y el cuello más corto con relación al tamaño del cuerpo. Generalmente presenta dimorfismo sexual y el cuidado del nido y las crías esta a cargo de las hembras (Ankney y Afton, 1988; Secretaría del Medio Ambiente y Recursos Naturales, 2006).

#### *I.VI. Marcadores moleculares*

Los marcadores moleculares son moléculas (secuencias de DNA, RNA y proteínas) que aportan información genética y funcionan como señales de diferentes regiones del genoma que permiten detectar variación entre especies, poblaciones e individuos (Avise, 2004). Los marcadores moleculares más utilizados para diferenciar especies o poblaciones de helmintos son las regiones de los espaciadores internos transcritos (ITS) del DNA nuclear y los genes del DNA mitocondrial como el Citocromo Oxidasa Subunidad I (cox I), la Subunidad mayor del RNA mitocondrial (16S) y la subunidad 4 deshidrogenasa (NDH4). Una de las razones que justifica su uso es que presentan regiones variables. En animales, el DNA mitocondrial es un genoma circular con aproximadamente 16,569 pares de bases y se ha utilizado como marcador molecular para delimitar especies, especies crípticas o poblaciones debido a su alta tasa de mutación y a su herencia materna la cual es independiente al DNA nuclear (Cruickshank, 2002; Steinauer et al., 2007). Sin embargo, en algunos organismos se ha reportado la presencia de pseudogenes mitocondriales, los cuales están asociados con el uso de primers universales (Benesh et al., 2006).

## **II. JUSTIFICACIÓN**

*Pseudocorynosoma constrictum* presenta una alta variación fenotípica, amplia distribución geográfica en Norteamérica y además parásita el intestino de varias especies de anátidos de distribución simpátrida. Esto pudiera sugerir que *P. constrictum* también presentara una amplia variación genética intraespecífica debido a su alto potencial de colonización en diferentes especies de anátidos. Por lo tanto *P. constrictum* representa un modelo para someter a un estudio de prospección molecular (variación genética intraespecífica) y tratar de entender las asociaciones parasitarias entre distintas especies de anátidos con afinidades filogenéticas, que pueden ser explicadas por patrones ecológicos de activación de hospederos (host-sharing) (Brooks y McClenan, 1993).

La asociación de *P. constrictum* con los anátidos pudiera sugerir una transferencia horizontal, la cual puede ser probada con la comparación de las filogenias de las poblaciones de *P. constrictum* y con la de sus hospederos.

## **III. OBJETIVOS**

### *III.I Generales*

- Validar la identidad taxonómica de las 8 poblaciones de *Pseudocorynosoma constrictum* a través de un análisis morfológico y molecular, utilizando como marcador el gen mitocondrial citocromo oxidasa subunidad I.

### *III.II Particulares*

- Estimar la variación genética entre las poblaciones de *Pseudocorynosoma constrictum* a través de un análisis de distancias genéticas.

## IV. MATERIAL Y MÉTODO

### IV.I Recolecta del material biológico

Durante el invierno de 2006 y 2007, se recolectaron siete especies de patos en diferentes localidades de México: *Anas clypeata*, *A. crecca*, *A. strepera*, *A. cyanoptera*, *A. diazi*, *Aythya americana* y *Aythya affinis* (Tabla 3). El intestino de cada ave fue extraído y colocado en cajas de Petri con solución salina al 0.75 %. Posteriormente el intestino se examinó bajo el microscopio estereoscópico en busca de acantocéfalos. Algunos ejemplares se preservaron directamente en etanol al 100%, este método permite la adecuada fijación de los organismos y del material genético. Otros ejemplares se colocaron en el refrigerador a 4 °C con agua destilada por 24 horas con el fin de que los organismos evertieran la proboscis. Posteriormente se preservaron en etanol al 70% para su identificación morfológica. Los ejemplares preservados para el estudio morfológico se tiñeron usando la técnica de tinción de Paracarmín de Meyer, posteriormente éstos fueron montados en preparaciones permanentes usando bálsamo de Canadá. Los organismos fueron determinados usando las claves morfológicas de Petrochenko, 1958 y Yamaguti, 1963. Adicionalmente se revisó la descripción original de la especie *P. constrictum* realizada por Van Cleave 1918. Además los ejemplares se midieron usando un microscopio óptico (Olympus modelo, BX40F-3, Japón) y un ocular micrométrico. Las medidas de los organismos están en milímetros y se tomaron de un analizador de imágenes. Los ejemplares se depositaron en la Colección Nacional de Helmintos del Instituto de Biología de la UNAM (Tabla 3).

### IV.II Aislamiento del DNA genómico

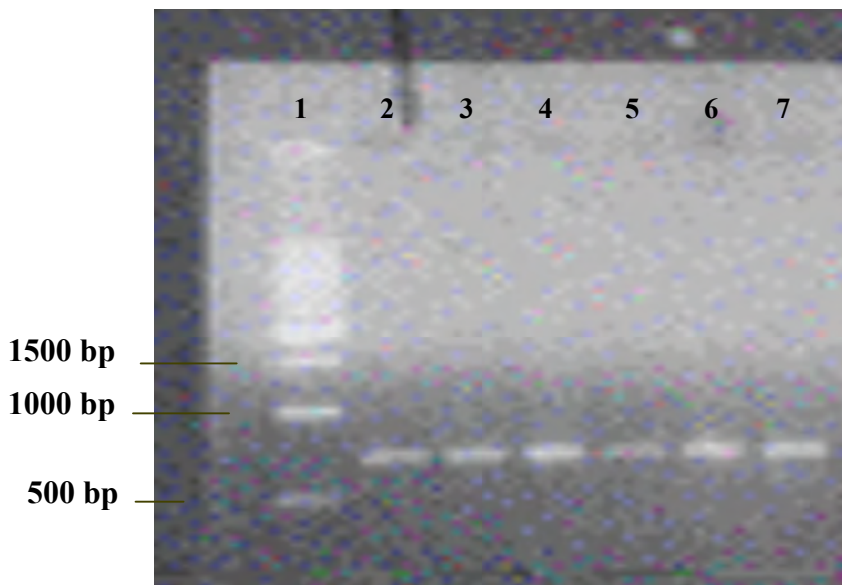
Los organismos preservados directamente en etanol absoluto se colocaron en una solución de digestión que contenía 100 µl de la mezcla (100mM Tris HCl pH 7.6, 200mM NaCl, 10% Sarkosyl, Proteinasa K, Agua Ultrapura). Posteriormente la solución con el tejido se incubó a 56 °C por 12 horas. Finalmente el DNA fue aislado con el reactivo de DNAzol (Chomczynski et al., 1997) (Invitrogen, CA, USA) y resuspendido en 25 µl de agua bidestilada.

**Tabla 3.** Registros de *Pseudocorynosoma constrictum*. Los números entre paréntesis son los accesos de las secuencias de los hospederos obtenidas de la base de datos del Gen Bank.

Hospedero No. de acceso de Genbank	Nombre común	Localidad	Coordenadas	No. de Catalogo
<i>Anas clypeata</i> (EF515737)	Pato cucharón	El Huizache, Sinaloa	23° 05' 28" N; 106° 15' 57" W	6271
<i>Anas clypeata</i>		Laguna de Chiconahuapan, Estado de México	19° 11' 20" N; 99° 29' 30" W	5720
<i>Anas crecca</i> (EF515738)	Cerceta alas vedes	Laguna de Chiconahuapan, Estado de México	19° 11' 20" N; 99° 29' 30" W	-----
<i>Anas cyanoptera</i> (DQ433311)	Cerceta canela	Laguna de Chiconahuapan, Estado de México	19° 11' 20" N; 99° 29' 30" W	6270
<i>Anas platyrhynchos diazi</i> (AF059069)	Pato triguero	Laguna de Chiconahuapan, Estado de México	19° 11' 20" N; 99° 29' 30" W	-----
<i>Anas strepera</i> (DQ432726)	Pato pinto	Laguna de Chiconahuapan, Estado de México	19° 11' 20" N; 99° 29' 30" W	-----
<i>Aythya americana</i> (DQ434317)	Pato cabeza roja	Tecocomulco, Hidalgo	19° 42' 13.7" N; 98° 11' 30" W	----
<i>Aythya affinis</i> (DQ432757)	Pato boludo chico	Nueva Ideal, Durango	24° 53' 00" N; 104° 55' 26" W	5881

#### IV.III Amplificación y secuenciación del gen citocromo oxidasa subunidad I (cox 1)

La amplificación del gen mitocondrial cox I se llevó a cabo por reacción en cadena de la polimerasa (PCR). La mezcla de reacción de PCR contenía un volumen final de 25 µl, con 2 µl de DNA genómico; 2.5 µl de buffer de reacción 10X, 1.5 µl de MgCl<sub>2</sub>, 0.5 µl de dNTP's (Promega, Madison USA), 1 µl del primer 507 forward (5'-AGTTCTAACATAARGATATYGG-3'); 1 µl del primer 588 reverse (3'-TAAACTTCAGGGTGACCAAAAAATCA-5') (Folmer et al., 1994); 0.125 µl de la enzima (equivalente a media unidad) Taq polimera Platinum (Invitrogen, CA, USA) y 16.375 µl de agua destilada. Las muestras se incubaron en un termociclador (PTC 100, MJ Research Inc) con un programa que consistía de un paso inicial de desnaturización de 94°C por 3 minutos, un período de alineación de 1 min. a 40°C y un período de extensión por 72°C por 1 minuto, seguido por 35 ciclos. El programa se completó con un período de extensión final de 72°C por 5 minutos. Los productos amplificados fueron separados y evaluados por electroforesis en un gel de agarosa al 1% teñido con bromuro de etidio en un buffer de Tris-Boratos (TBE 1X) (Fig. 2).



**Fig. 2.** Gel de agarosa teñido con bromuro de etidio al 1 %. Carril 1, marcador de peso molecular; carriles 2-7 muestran el producto de PCR del amplificado que corresponde a un fragmento del gen citocromo oxidasa subunidad I del DNA mitocondrial.

#### *IV.IV Purificación de los productos de PCR, clonación y secuenciación*

Los productos de PCR se limpiaron usando las enzimas EXO-SAP (USB®), seguido de una incubación a 37°C durante 15 minutos, posteriormente una incubación a 80°C por 15 min fue llevada a cabo para desactivar las enzimas. Otros productos de PCR se filtraron usando las columnas de millipore (Ultra-Free Mc, Amicon, Bedford, MA, USA), para posteriormente ser ligado al vector PGEM-T Vector system II (Promega, Madison, WI, USA) usando la siguiente mezcla de reacción, 5 µl Buffer 2X Ligation, 1µl T4 DNA Ligase, 0.7 µl del Vector (50 ng) y 3.3 µl de producto PCR previamente filtrado con las columnas de millipore. Finalmente la reacción de ligación se incubó a 4 °C por 12 horas. Se utilizó 5 µl de la mezcla de ligación para realizar la transformación de los plásmidos recombinantes usando células competentes (*Escherichia coli* cepa JM109) y los reactivos IPTG, X-Gal y un antibiótico (Ampicilina 50 ng/ml). Se seleccionaron las colonias bacterianas con los plásmidos recombinantes que contenían el inserto de interés y se crecieron en medio bacteriano LB (Luria Broth) con ampicilina durante 24 horas, para posteriormente aislar el plásmido recombinante usando el kit de purificación (QIAGEN, CA, USA). La reacción de secuenciación de los productos de PCR y de los

plásmidos recombinantes se llevó a cabo en una mezcla de reacción de 10 µl, que contenía: 2 µl de buffer, 1 µl del primer, 2 µl Big Dye, 2 µl de agua megapura y 3 µl de DNA. Finalmente, la reacción de secuenciación fue analizada en un secuenciador automático marca Perkin Elmer modelo 310.

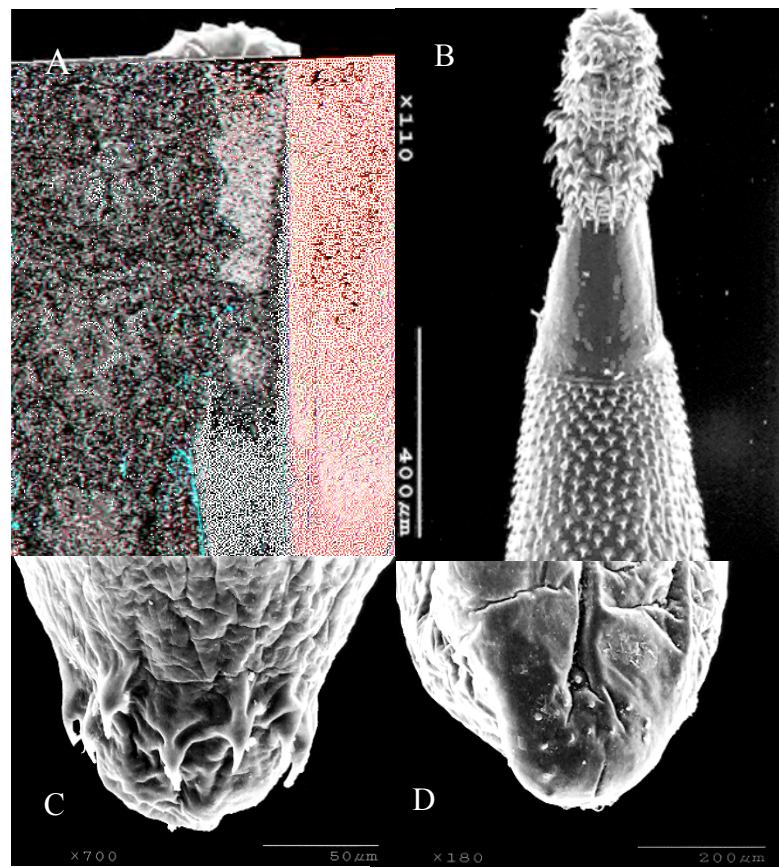
#### *IV.V Alineamientos múltiples y análisis filogenéticos*

Los electroferogramas derivados del secuenciador automático fueron evaluados y ensamblados con el programa de cómputo Codoncode corporation (VERSION1.5.2) Las secuencias consenso del cox I de cada población fueron alineadas con el programa de cómputo Clustal X. En total 8 secuencias del cox I de las poblaciones de *P. constrictum*, más una secuencia de *P. anatarium*, especie usada como grupo externo, fueron alineadas, formando una base de datos de 655 nucleótidos. Las secuencias del cox I de los hospederos definitivos en donde se recolectaron los parásitos fueron obtenidas de la base de datos del Genbank (Tabla 3), formando una base de datos de 8 taxa con 642 nucleótidos. Las distancias genéticas entre los taxa fueron estimadas usando el método de Jukes-Cantor (1969). Los análisis filogenéticos se llevaron a cabo con el método de Neighbor-joining (NJ). El soporte de las ramas de los árboles fue estimado usando el método de remuestreo de bootstrap con 10, 000 réplicas, utilizando el programa de cómputo PAUP (Swofford, 2002).

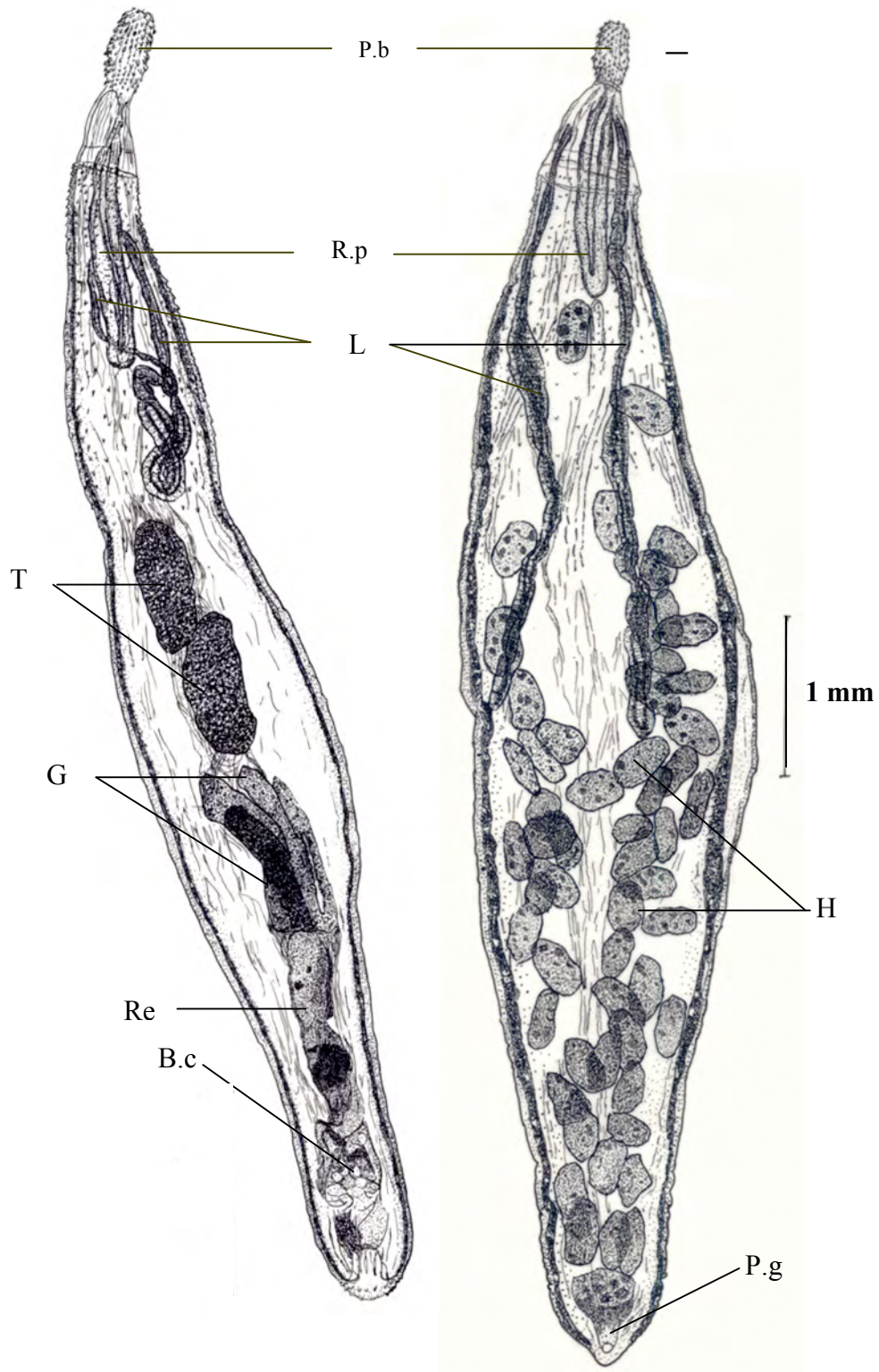
## V. RESULTADOS

### V.I Morfología

Los acantocéfalos extraídos del intestino de los patos fueron determinados como *Pseudocorynosoma constrictum* siguiendo la descripción de la especie realizada por Van Cleave, 1918. Los ejemplares presentan las siguientes características morfológicas: proboscis ovoide con una longitud de 0.39 a 0.55 mm y un diámetro de 0.13 a 0.24 mm en los machos; las hembras presentan una proboscis con una longitud de 0.41 a 1.3 mm con un diámetro de 0.19 a 1.9 mm. Los dos sexos poseen un cuello cónico, en el tronco presentan una constrictión en la región anterior cubierta de espinas de forma triangular (Fig. 3A y 3B). Machos y hembras presentaron espinas cuticulares alrededor de la apertura genital, que es característico de la especie (Fig. 3C y 3D). El aparato reproductor masculino está formado por 2 testículos arreglados en tandem y 4 glándulas de cemento tubulares, mientras que en las hembras los huevos son ovoides (Fig. 4). El cuerpo de los machos es más pequeño con una longitud de 3.9 a 6.4 mm y un diámetro de 0.9 a 1.1 mm, mientras que las hembras tienen una longitud de 5.3 a 8.6 mm con un diámetro de 0.91 a 1.9 mm y (Tabla 4). La especie *Pseudocorynosoma anatarium* la cual fue registrada en el pato *Bucephala albeola* en los estados de Durango, Sinaloa y Baja California Sur, se diferencia de *P. constrictum* por presentar una proboscis armada con 14 hileras de ganchos con 8 o 9 ganchos en cada hilera. La determinación taxonómica de *P. anatarium* fue basada en la descripción original (Van Cleave, 1945).



**Fig. 3.** Microfotografías electrónicas. A) Proboscis; B) Proboscis y tronco en donde se muestran las espinas triangulares; C) Espinas genitales de un macho; D) Espinas genitales de una hembra.



**Fig. 4.** Morfología del macho y hembra de *Pseudocorynosoma constrictum*. **P.b**, Proboscis; **R.p**, Receptáculo de la proboscis; **L**, Lemniscos; **T**, Testículos; **G**, Glándulas de cemento; **Re**, reservorio de cemento; **B.c**, bursa copulatriz; **H**, huevos; **P.g**, poro genital de la hembra.

**Tabla 4.** Medidas en milímetros del cuerpo y la proboscis de *Pseudocorynosoma constrictum*. La descripción así como las medidas mencionadas están basadas en 8 machos y 15 hembras.

Localidad del ejemplar	Hospedero	Longitud de la proboscis	Diámetro de la proboscis	Longitud del cuerpo	Diámetro del cuerpo
Laguna de Chichnahuapan Estado de México _	<i>Anas clypeata</i>	0,462	0,214	6,429	1,018
Laguna de Chichnahuapan, Estado de México _	<i>Anas clypeata</i>	0,469	0,205	5,666	0,932
Laguna de Chichnahuapan, Estado de México _	<i>Anas clypeata</i>	0,416	0,199	5,038	0,965
Laguna de Chichnahuapan, Estado de México _	<i>Anas clypeata</i>	0,416	0,199	5,038	0,965
Laguna de Chichnahuapan, Estado de México _	<i>Anas clypeata</i>	0,406	0,135	5,949	0,955
Laguna de Chichnahuapan, Estado de México _	<i>Anas clypeata</i>	0,551	0,242	6,119	1,115
Laguna de Chichnahuapan, Estado de México _	<i>Anas cyanoptera</i>	0,463	0,202	4,290	1,001
Laguna de Chichnahuapan, Estado de México _	<i>Anas clypeata</i>	0,395	0,165	3,982	0,943
Nueva Ideal, Durango	<i>Aythya affinis</i>	0,458	0,221	7,722	1,563
Nueva Ideal, Durango	<i>Aythya affinis</i>	0,492	0,197	4,792	0,911
Nueva Ideal, Durango	<i>Aythya affinis</i>	0,455	0,221	4,912	1,511
Laguna de Chichnahuapan, Estado de México _	<i>Anas clypeata</i>	0,540	1,972	4,792	0,911
Laguna de Chichnahuapan, Estado de México _	<i>Anas cyanoptera</i>	0,453	0,243	5,730	1,966
Laguna de Chichnahuapan, Estado de México _	<i>Anas clypeata</i>	0,469	0,205	5,663	0,932
Laguna de Chichnahuapan, Estado de México _	<i>Anas clypeata</i>	1,180	0,201	7,492	1,234
Laguna de Chichnahuapan, Estado de México _	<i>Anas clypeata</i>	1,234	0,801	7,965	1,621
Laguna de Chichnahuapan, Estado de México _	<i>Anas clypeata</i>	1,013	0,203	7,050	1,114
Laguna de Chichnahuapan, Estado de México _	<i>Anas clypeata</i>	1,364	0,635	7,080	1,418
El Huizache, Sinaloa _	<i>Anas clypeata</i>	0,770	0,356	5,371	1,273
El Huizache, Sinaloa _	<i>Anas clypeata</i>	0,412	0,261	5,863	1,748
El Huizache, Sinaloa _	<i>Anas clypeata</i>	1,023	0,212	6,262	1,643
Nueva ideal, Durango	<i>Aythya affinis</i>	0,483	0,203	8,66	1,732

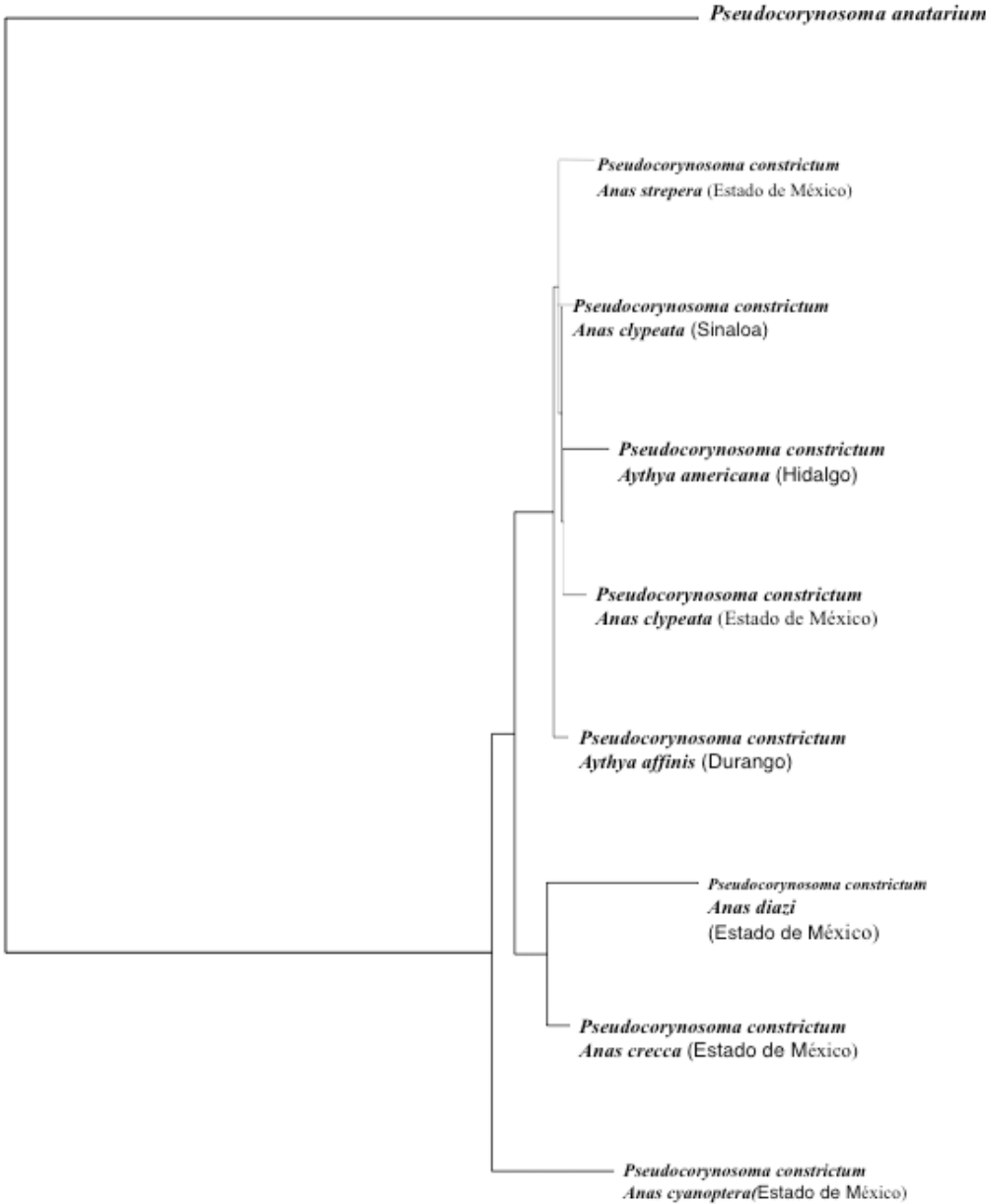
## V.II Datos moleculares

Las distancias genéticas entre las poblaciones de *P. constrictum* y *P. anatarium*, (especie usada como grupo externo para realizar el cladograma) tienen un rango del 16 al 18 % de divergencia genética, mientras que las poblaciones de *P. constrictum* tienen un rango de divergencia entre el 0.03 al 4.5 % (Tabla 5). El análisis de NJ mostró que las 8 poblaciones analizadas de *P. constrictum* comparten un ancestro común, con un soporte de bootstrap del 100 % (Fig. 5). Por otro lado, las distancias genéticas entre los hospederos de *P. anatarium* (*Bucephala albeola* Linnaeus, 1758) y *P. constrictum*

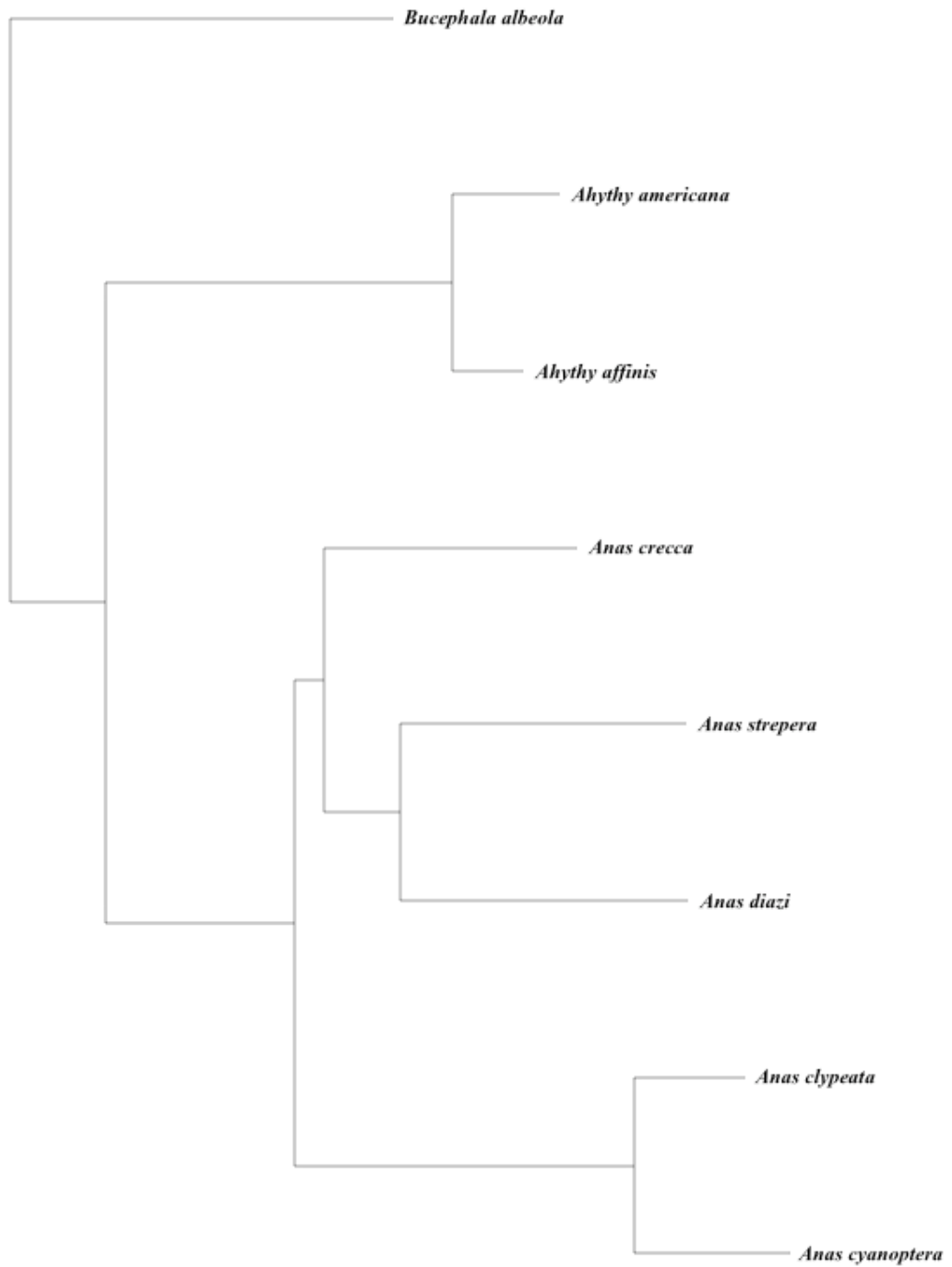
(miembros de los géneros *Anas* y *Aythya*) presentan entre 8 al 11% de divergencia., Entre especies del género *Anas* es del 2 al 8 %., entre las especies del género *Aythya* fue del 17% y entre las especies del género *Anas* y las especies del género *Aythya* fue del 2 al 17% de divergencia genética. El análisis de NJ mostró que el pato *Bucephala albeola* es la especie hermana de dos grupos de patos conformados por 2 especies del género *Aythya* y 5 especies del género *Anas*, respectivamente (Fig. 6).

**Tabla 5.** Distancias genéticas entre las poblaciones de *Pseudocorynosoma constrictum* y *Pseudocorynosoma anatarium*.

	1	2	3	4	5	6	7	8	9
1 P.anatarium	-								
2 P.const Estado de México	17.2	-							
3 P.const Estado de México	16.6	4.5	-						
4 P.const Estado de México	18.2	3.4	3.2	-					
5 P.const Hidalgo	17.4	1	0.6	3.9	-				
6 P.const Estado de México	17.2	1	1.2	2.3	1.8	-			
7 P.const Sinaloa	17	0.7	0.3	3.5	0.9	1.5	-		
8 P.const Estado de México	17.4	2.8	2.6	4	3.2	2.9	2.9	-	
9 P.const Durango	16.6	0.7	0.3	3.2	0.9	1.5	0.6	2.6	-



**Fig. 5.** Arbol filogenético basado en un análisis de Neighbor-joining donde se muestran las 8 poblaciones de *P. constrictum* con sus hospederos y localidad.



**Fig. 6.** Arbol filogenético basado en un análisis de Neighbor-joining de los hospederos de *Pseudocorynosoma constrictum*.

## VI. DISCUSIÓN

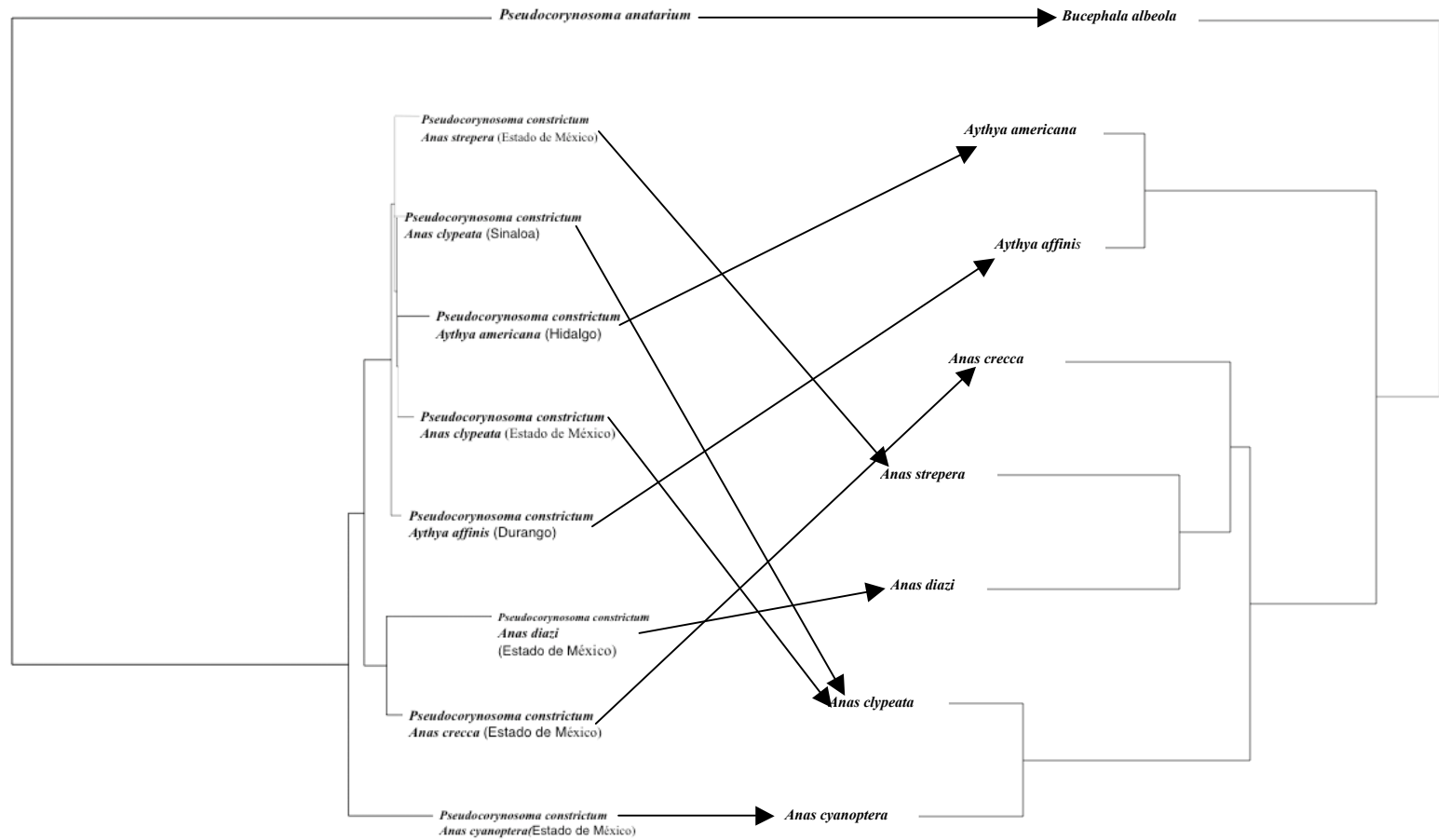
Los acantocéfalos recolectados del intestino de los patos fueron determinados como *Pseudocorynosoma constrictum*, por presentar las características diagnósticas de la especie descrita por Van Cleave en 1918. Por ejemplo una proboscis ovalada armada con 16 hileras de 10 a 12 ganchos en cada una; la región anterior del cuerpo esta cubierta por espinas triangulares alcanzando un tercio del tronco; los machos presentan espinas alrededor del poro genital; 2 testículos en tandem y 4 glándulas de cemento; las hembras presentan huevos ovoides.

*Pseudocorynosoma constrictum* es un parásito especialista de anátidos de Norteamérica (Tabla 2) y exhibe una diversidad morfológica en cuanto a su talla, sin embargo los caracteres diagnósticos que definen a la especie (mencionados anteriormente) son constantes. La divergencia genética entre individuos de las 8 poblaciones de *P. constrictum* usando el cox I como marcador molecular oscila entre 0.03 y el 4 %. Estos rangos de divergencia poblacional son similares con poblaciones de otras especies de polimorfidos, por ejemplo *Corynosoma strumosum* Lühe, 1904; *Southwellina hispida* Van Cleave, 1925; *Polymorphus brevis* Van Cleave, 1916; *Profilicollis altmani* Perry, 1942; *Profilicollis botulus* Van Cleave, 1916 y *Hexaglandula corynosoma* Travassos, 1915. El rango de divergencia genética poblacional de estos polimorfidos fue 1 al 5 %. (García-Varela y Pérez-Ponce de León, 2008; Guillén-Hernández et al., 2008).

El análisis de NJ mostró que las 8 poblaciones de *P. constrictum* forman un grupo monofilético, lo que apoya la identidad taxonómica de estas poblaciones. Al comparar el árbol filogenético de las poblaciones de *P. constrictum* con el árbol filogenético de los hospederos, observamos que no presentan un patrón filogenético similar, sino más bien un proceso de transferencia horizontal (Fig. 7). Esta evidencia sugiere que la presencia de *P. constrictum* en los anátidos es debido a que los acantocéfalos han adicionado diferentes especies de hospederos en su ciclo biológico que comparten una dieta en común (Kennedy, 2006). El anfípodo *Hyalella azteca* (hospedero intermediario de *P. constrictum*) forma parte de la dieta de los anátidos ya que representa una fuente rica en proteínas (Reinecke y Owen, 1980; Brown y Fredrickson, 1986; Ankney y Afton, 1988).

*Pseudocorynosoma constrictum* fue previamente registrado en el pato mexicano *Anas platyrhynchos diazi* Linnaeus, 1758 en los estados de Jalisco y Aguascalientes.

(Farias y Canaris, 1986). Sin embargo, en el presente trabajo de tesis, *P. constrictum* fue colectado en el centro (Estado de México) de México por lo que el nuevo registro amplía el intervalo de distribución de este parásito. Aparentemente el ciclo de vida de *P. constrictum* puede ser completado en los humedales del centro de México debido a la presencia del anfípodo *Hyalella azteca* (Barba y Sánchez, 2006).



**Fig. 7.** Árboles filogenéticos de *Pseudocorynosoma constrictum* con sus hospederos.



## VII. CONCLUSIONES

1. Los acantocéfalos recolectados de los intestinos de 7 especies de patos fueron determinados como *Pseudocorynosoma constrictum*.
2. La divergencia genética poblacional de *P. constrictum* usando cox I, como marcador molecular oscila entre el 0.03 al 4 %.
3. Los análisis filogenéticos indican que las 8 poblaciones de *P. constrictum* forman un grupo monofilético.
4. La presencia *P. constrictum* en los anátidos es debido a una transferencia horizontal debido que los anátidos se alimentan del anfípodo *Hyalella azteca* que funciona como hospedero intermediario de *P. constrictum*.
5. En el presente trabajo de tesis se amplía el intervalo de distribución de *P. constrictum* ya que se registro en humedales del centro de México, asociados a los anátidos. *Anas clypeata*, *Anas crecca*, *Anas cianoptera*, *Anas strepera* y *Anas diazi*.

### VIII. Literatura citada

- Amin O. 1985. Cap: Classification, en Biology of the Acanthocephala. Cambridge University Press. 518 p.
- Ankney D. C. and Afton A. D. 1988. Bioenergetics of breeding Northern Shovelers: diet, nutrient reserves, clutch size, and incubation. *The Condor* 90: 459- 472 p.
- Avise J. 2004. Molecular markers, natural history and evolution. Sinauer associates, Inc. Miami. USA. 684 p.
- Aznar F. J., Pérez-Ponce de León G. and Raga J.A. 2006. Status of *Corynosoma* (Acanthocephala: Polymorphidae) based on anatomical, ecological and phylogenetic evidence, with the erection of *Pseudocorynosoma* n. gen. *Journal of Parasitology*. 92 (3) 548-564 p.
- Barba E. and A. J. Sánchez. 2007. A new record of *Hyalella azteca* Saussure, 1858 (amphipoda, hyalellidae) from the Lerma-Chapala basin, Mexican pacific coast. *Crustaceana* 80: 625-630 p.
- Benesh D.P., Duclos L.M and Nickol B.B. 2005. The Behavioral response of amphipods harboring *Corynosoma constrictum* (ACANTHOCEPHALA) to various components of light. *Journal of Parasitology*, 91(4) 731-736 p.
- Benesh D.P., Hasu T., Soumalainem L.R., Valtonen E.T. and Tiirola M. 2006. Reability of mitochondrial DNA in an acanthocephalan: the problem of pseudogenes. *Journal of Parasitology*. 36: 247-254 p.
- Broderson D., Canaris A.G. and Bristol J.R. 1977. Parasites of waterfowl from Southwest Texas: II. The shoveler, *Anas clypeata*. *Journal of Wildlife Diseases*. 13: 435-439 p.
- Brooks D.R. and McLennan D.A. 1993. Parascript: Parasites and the lenguage of evolution. *Smithsonian Institution*, Washington, D.C. 429 p.
- Brown P.W., and Fredrickson L.H. 1986. Food habits of breeding white-winged scoters. *Canadian Journal of Zoology* 64:1652–1654 p.
- Brusca R.C. and Brusca G.J. 2002. Invertebrates. Second Edition, Sinauer Associates, INC., Publisher, USA. 936 p.
- Buscher H. N1965. Dynamics of the Intestinal Helminth Fauna in Three Species of Ducks. *The Journal of Wildlife Management*. 29 (4): 772-781 p.
- Canaris A.G., Mena A.C. and Bristol J.R. 1981. Parasites of waterfowl from Southwest Texas. III. The green-winged teal. *Journal of Wildlife Diseases*. 17: 57-64 p.
- Chomezynski P., Mackey K., Drews R., and Wilfinger W.1997. DNazol: A Reagent for the Rapid Isolation of Genomic DNA. *Biotechniques* 22: 550-553 p.

Crichton V.F. and Welch H. E. 1972. Helminths from the digestive tracks of mallards and pintails in the delta Marsh, Manitoba. *Journal of Zoology*. 50 (5): 633-7 p.

Cruickshank H.R. 2002. Molecular markers for the phylogenetics of mites and ticks. *Systematic and Applied Acarology* 7: 3-14 p.

Duclos L., Danner M., Bradford J. and Nickol B.B. 2006. Virulence of *Corynosoma constrictum* (Acanthocephala: Polymorphidae) in *Hyalella azteca* (Amphipoda) throughout parasite ontogeny. *Journal of Parasitology*. 92 (4): 749-755 p.

Ewart M. J. and McLaughlin J. D. 1990. Helminths from spring and fall migrant bufflehead ducks (*Bucephala albeola*) at delta, Manitoba, Canada. *Canadian Journal of Zoology*. 68 (10): 2230-2233 p.

Farias J. D. and A. G. Canaris 1986. Gastrointestinal helminths of the Mexican duck, *Anas platyrhynchos diazi*, from north central México and Southwestern USA. *Journal of Wildlife Disease* 22: 51-54 p.

Folmer O., Black M., Hoen W. R. and Vrijen H. R. 1994. DNA primers for amplification of mitochondrial citocrome oxidase subunit I from diverse metazoan invertebrates. *Molecular Marine Biology or Biotechnology*. 3: 294-299 p.

García-Varela M., Cummings P.M., Pérez-Ponce de León G., Gardner S.L. and Laclette J.P. 2002. Phylogenetic analysis based on 18S Ribosomal RNA gene sequences support the existence of class polyacanthocephalan (acanthocephala). *Molecular Phylogenetics and Evolution*. 23: 288-292.

García-Varela M and Pérez-Ponce de León G. 2008. Validating the systematic position of *Profilicollis* Meyer, 1931 and *Hexaglandula* Petrochenko, 1950 (ACANTHOCEPHALA: POLYMORPHIDAE) using Citocromo oxidasa (COI). *Journal of Parasitology*. 94(1): 91-96.

Guillén-Hernández S., García-Varela M. and Pérez-Ponce de León G. 2008. First record of *Hexaglandula corynosoma* (Travassos, 1915) Petrochenko, 1958 (Acanthocephala: Polymorphidae) in intermediate and definitive hosts in Mexico. *Zootaxa. En prensa*.

Keithly J.S. 1968. Life history of *Corynosoma constrictum* Van Cleave (Acanthocephala; Polymorphidae) Ph. D. Thesis. Iowa State University, Ames, Iowa, p. 203

Kennedy C. R. 2006. Ecology of the Acanthocephala. Cambridge University Press, New York. 249 p.

Mayberry L. F., Canaris A. G., Bristol J. R. and Gardner S. L. 2000. Bibliography of parasites and vertebrate host in Arizona, New México and Texas (1883-1984). The world-wide-web 11 on the University of Nebraska Harold W. Manter Laboratory of Parasitology Web Server.

Near T.J., Garey J.R and Nadler S. A. 1998. Phylogenetic relationships of the Acanthocephala inferret from 18S ribosomal DNA sequences. *Molecular Phylogenetics and Evolutions*. 10: 287-298 p.

Nickol B.B. (1985). Biology of the Acanthocephala. Cambridge: Cambridge University Press 307 p.

Podesta R.B. and Holmes J.C. 1970. The life cycles of three polymorphids (Acanthocephala) ocurrents as juveniles in *Hyalella azteca* (Amphipoda) at Cooking Lake, Alberta. *Journal of Parasitology*. 56: 1118-1123 p.

Petrochenko V. I. 1958. Acanthocephala of domestic and wild animals. Volumen II. Moscow: Izdatel'stvo Akademii Nauk SSSR, Vsesoyuznoe Obshchestvo Gel'mintologov, Moscow, Russia, 478 p. (In Russian).

Priebe M. 1952. Acanthocephalan parasites of waterbirds in Eastern Washington. *Transactions of the American Microscopical Society*. 71 (4): 347-349 p.

Reinecke K. J. and Owen R. B. 1980. Food use and nutrition of Black Ducks nesting in Maine. *Journal Wildlife Manage* 44: 549–558 p.

Schmith G. D. 1965. *Corynosoma bipapillum* sp. n. from Bonaparte's Gull Larus Philadelphia in Alaska, with a Note on *C. constrictum* Van Cleave, 1918. *Journal of Parasitology*. 51 (5): 814-816 p.

Schmith G. D. 1973. Resurrection of *Southwellina* Witenberg, 1932, with a description of *Southwellina dimorpha* sp. n., and a Key to Genera in Polymorphidae (Acanthocephala). *Journal of Parasitology*. 59 (2): 299-305 p.

Secretaría del Medio Ambiente y Recursos Naturales. 2006. Proyecto para la conservación, manejo y aprovechamiento sustentable de las Aves Acuáticas y su hábitat en México. Serie: Proyecto de Recuperación de Especies Prioritarias. 1-53

Steinauer M.L., Parham J. E. and Nickol B.B. 2007. Cryptic speciation and patterns of phenotypic variation of a highly variable acanthocephalan parasite. *Molecular Ecology* 16(19): 4097-109 p.

Swofford D. L. 2002. PAUP 4.0b10. Phylogenetic analysis using parsimony (and other methods). Sinauer Associates, Sunderland, Massachusetts.

Turner B.C. and Threlfall W. 1975. The metazoan parasites of green-winged teal (*Anas crecca* L.) and blue-winged teal (*Anas discors* L.) from eastern Canada. *Proceedings of the Helminthological Society of Washington*. 42: 157-169 p.

Van Cleave J. H .1918. The acanthocephala of North American birds. *Transactions of the American Microscopical Society*. 37 (1): 20-47 p.

Van Cleave J. H. and Starret W. 1940. The acanthocephalan of wild ducks in Central Illinois, with descriptions of two new species. *Transactions of the American Microscopical Society*. 59 (3): 348-353 p.

Van Cleave J. H. 1945. The Acanthocephalan genus *Corynosoma*. The species found in waters birds of North America. *Journal of Parasitology*. 31 (5) 332-340 p.

Yamaguti S. 1963. Systema helminthum. Vol. V, Acanthocephala. Interscience Publishers, New York, New York, 423 p.

Wilkinson J.N., Canaris A.G. and Broderson D. 1977. Parasites of waterfowl from Southwest Texas: II. The shoveler *Anas clypeata*. *Journal of Wildlife Diseases*. 13: 62-63 p.

## IX. Apéndice

## *IX. Alineamiento*

P.const_Astrepara	TGTTT
P.const_Aclypeata	TGTTT
P.const_Adiazi	TGTTT
P.const_Aamerican	TGTTT

P.const_Acrecca	TGTTT
P.const_AclypeataEdo	TGTTT
P.const_Acyanoptera	TGTTT
P.const_Aaffinis	TGTTT
P.anatarium_Dura	TATTT

## IX. Apéndice

### *IX. Alineamiento*

```

P.const_Astrepara      GTTTATGTAT GTTTGGTAA GGGTGTGAAG GGGTGTGGT GGGTTTGGGT
P.const_Aclypeata      GTTTATGTAT GTTTGGTAA GGGTATGAAG GGGTGTGGT GGGTTTGGGT
P.const_Adiazi         GTTTATGTAT GTTTGGTAA GGGTATGAAG GGGTGTGGT GGGTTTGGGT
P.const_Aamericana     GTTTATGTAT GTTTGGTAA GGGTATGAAG GGGTGTGGT GGGTTTGGGT
P.const_Acrecca        GTTTATGTAT GTTTGGTAA GGGTATGAAG GGGTGTGGT GGGTTTGGGT
P.const_AclypeataEdo   GTTTATGTAT GTTTGGTAA GGGTATGAAG GGGTGTGGT GGGTTTGGGT
P.const_Acyanoptera    GTTTATGTAT GTTTGGTAA GGGTATGAAG GGGTGTGGT GGGTTTGGGT
P.const_Aaffinis       GTTTATGTAT GTTTGGTAA GGGTATGAAG GGGTGTGGT GGGTTTGGGT
P.anatarium_Dura       GTTTATGTAT GTTTGGTAA GGGTATGAAG GGGTGTGGT GGGTTTGGGT
P.const_Astrepara      TAAGCATAAT TATTCGTATG GAGTAGGAG CAGGTGGCA GTGGTTGGGG
P.const_Aclypeata      TAAGCATAAT TATTCGTATG GAGTAGGAG CAGGTGGCA GTGGTTGGGG
P.const_Adiazi         TAAGCATAAT TATTCGTATG GAGTAGGAG CAGGTGGCA GTGGTTGGGG
P.const_Aamericana     TAAGCATAAT TATTCGTATG GAGTAGGAG CAGGTGGCA GTGGTTGGGG
P.const_Acrecca        TAAGCATAAT TATTCGTATG GAGTAGGAG CAGGTGGCA GTGGTTGGGG
P.const_AclypeataEdo   TAAGCATAAT TATTCGTATG GAGTAGGAG CAGGTGGCA GTGGTTGGGG
P.const_Acyanoptera    TAAGCATAAT TATTCGTATG GAGTAGGAG CAGGTGGCA GTGGTTGGGG
P.const_Aaffinis       TAAGCATAAT TATTCGTATG GAGTAGGAG CAGGTGGCA GTGGTTGGGG
P.anatarium_Dura       TAAGCATAAT TATTCGTATG GAGTAGGAG CAGGTGGCA GTGGTTGGGG
P.const_Astrepara      GATGAGTATT TATATAATTT GATTGTTACT AGACATGGT TAATAATGTT
P.const_Aclypeata      GATGAGTATT TATATAATTT GATTGTTACT AGACATGGT TAATAATGTT
P.const_Adiazi         GATGAGTATT TATATAATTT GATTGTTACT AGACATGGT TAATAATGTT
P.const_Aamericana     GATGAGTATT TATATAATTT GATTGTTACT AGACATGGT TAATAATGTT
P.const_Acrecca        GATGAGTATT TATATAATTT GATTGTTACT AGACATGGT TAATAATGTT
P.const_AclypeataEdo   GATGAGTATT TATATAATTT GATTGTTACT AGACATGGT TAATAATGTT
P.const_Acyanoptera    GATGAGTATT TATATAATTT GATTGTTACT AGACATGGT TAATAATGCT
P.const_Aaffinis       GATGAGTATT TATATAATTT GATTGTTACT AGACATGGT TAATAATGTT
P.anatarium_Dura       GATGAGTATT TGTATAATTT GATTGTTACT AGCCATGGG TAATAATGTT
P.const_Astrepara      ATTTTCTTA GTGATGCCA TATTATAGG GGGATTTGGC AATTGACTTA
P.const_Aclypeata      ATTTTCTTA GTGATGCCA TATTATAGG GGGATTTGGC AATTGACTTA
P.const_Adiazi         ATTTTCTTA GTGATGCCA TATTATAGG GGGATTTGGC AATTGACTTA
P.const_Aamericana     ATTTTCTTA GTGATGCCA TATTATAGG GGGATTTGGC AATTGACTTA
P.const_Acrecca        ATTTTCTTA GTGATGCCA TATTATAGG GGGATTTGGC AATTGACTTA
P.const_AclypeataEdo   ATTTTCTTA GTGATGCCA TATTATAGG GGGATTTGGC AATTGACTTA
P.const_Acyanoptera    ATTTTCTTA GTGATGCCA TATTATAGG GGGATTTGGC AATTGACTTA
P.const_Aaffinis       ATTTTCTTA GTGATGCCA TATTATAGG GGGATTTGGC AATTGACTTA
P.anatarium_Dura       ATTTTCTTA GTGATGCCA TATTATAGG GGGATTTGGC AATTGACTTA
P.const_Astrepara      TCCCTGTAAT ACTAGGATTG GAGGATATAAC TTTTACCTCG TTTGAATAAT
P.const_Aclypeata      TCCCTGTAAT ACTAGGATTG GAGGATATAAC TTTTACCTCG TTTGAATAAT
P.const_Adiazi         TCCCTGTAAT ATTAGGATTG GAGGATATAAC TTTTACCTCG TTTGAATAAT
P.const_Aamericana     TCCCTGTAAT ATTAGGATTG GAGGATATAAC TTTTACCTCG TTTGAATAAT
P.const_Acrecca        TCCCTGTAAT ATTAGGATTG GAGGATATAAC TTTTACCTCG TTTGAATAAT
P.const_AclypeataEdo   TCCCTGTAAT ATTAGGATTG GAGGATATAAC TTTTACCTCG TTTGAATAAT
P.const_Acyanoptera    TCCCTGTAAT ATTAGGATTG GAGGATATAAC TTTTACCTCG TTTGAATAAT
P.const_Aaffinis       TCCCTGTAAT ATTAGGATTG GAGGATATAAC TTTTACCTCG TTTGAATAAT
P.anatarium_Dura       TCCCTGTAAT ATTAGGATTG GAGGATATAAC TTTTACCTCG TTTGAATAAT
P.const_Astrepara      TTGAGGTTT TAATAGTCCC TTTAGCTTTG TTATGTTT GTGTGTCTAT
P.const_Aclypeata      TTGAGGTTT TAATAGTCCC TTTAGCTTTG TTATGTTT GTGTGTCTAT
P.const_Adiazi         TTGAGGTTT TAATAGTCCC TTTAGCTTTG TTATGTTT GTGTGTCTAT
P.const_Aamericana     TTGAGGTTT TAATAGTCCC TTTAGCTTTG CTATGTTT GTGTGTCTAT
P.const_Acrecca        TTGAGGTTT TAATAGTCCC TTTAGCTTTG TTATGTTT GTGTGTCTAT
P.const_AclypeataEdo   TTGAGGTTT TAATAGTCCC TTTAGCTTTG TTATGTTT GTGTGTCTAT
P.const_Acyanoptera    TTGAGGTTT TAATAGTCCC TTTAGCTTTG TTATGTTT GTGTGTCTAT
P.const_Aaffinis       TTGAGGTTT TAATAGTCCC TTTAGCTTTG TTATGTTT GTGTGTCTAT
P.anatarium_Dura       TTGAGGTTT TAATAGTACC TATGGCATTG TTATGTTT GTATGTCTAT
P.const_Astrepara      ATGGTAAAAA GGAGGGGCTG GGGGTTGGAC TATGTATCCC CCGTTAATT
P.const_Aclypeata      ATGGTAAAAA GGAGGGGCTG GGGGTTGGAC TATGTATCCC CCGTTAATT
P.const_Adiazi         ATGGTAAAAA GGAGGGGCTG GGGGTTGGAC TATGTATCCC CCGTTAATT

```

P.const_Astrepara	TGT
P.const_Aclypeata	TGT
P.const_Adiazi	TGT

P.const_Aamerican	TGTTT
P.const_Acrecca	TGTTT
P.const_AclypeataEdo	TGTTT
P.const_Acyanoptera	TGTTT
P.const_Aaffinis	TGTTT
P.anatarium_Dura	TATTT